

جبهة الابتلال خلال طور اعادة توزيع الرطوبة تحت مصدر نقطي

حقي اسماعيل ياسين

أستاذ مساعد - قسم الموارد المائية/كلية الهندسة/جامعة الموصل

الخلاصة

إنَّ نمط ابتلال التربة تحت المنقط ناتج من حركة الماء في طور الترطيب (مرحلة الارشاح خلال فترة الارواء) و طور اعادة الترطيب (مرحلة اعادة توزيع الرطوبة بعد انتهاء فترة الارواء). تضمنت الدراسة إيجاد علاقات بين كل من التقدم العمودي والتقدم الافقى السطحي لجبهة ازمن منذ ابتداء اضافة الماء وزمن انتهاء طور الترطيب ومعدل اضافة الماء والتوصيل الهيدروليكي لك في مرحلة اعادة الترطيب اضافة الى امكانية اعتماد زمن انتهاء طور الترطيب مساوياً الى الزمن منذ ابتداء اضافة الماء .
بيانات منشوره سابقاً تمثل تقدم جبهة الابتلال تحت مصدر تنقيط خطي خلال طور الترطيب وطور الترطيب في تربتين مزيجيه رملية ومزيجيه طينية غرينية وباستخدام ثلاث معدلات لاضافة الماء اضافة الى التوصيل الهيدروليكي المشبع لكلا التربتين.

الكلمات الدالة : مصدر تنقيط ، جبهة الابتلال ، طور الترطيب ، طور اعادة الترطيب.

Advance of wetting pattern during redistribution

phase under trickle source

Haqqi I. Yasin

Assistant Professor - Water Resources Dept., Coll. Of Eng., Mosul Univ.**Abstract**

The soil wetting pattern under a trickle source is developed from water movement in wetting phase and redistribution phase. The present study included developing equations for vertical advance and horizontal advance of the wetting front during the redistribution phase. The advance is a function of time from the beginning of water application, total application time, water application rate, and saturated hydraulic conductivity. The same of equations can be used during the wetting phase too. The data of water movement in the soil under trickle source were obtained from previously developed researches.

Key words : trickle source, wetting pattern, wetting phase, redistribution phase.

قبل في 20/1/2008

أستلم في 24/5/2007

المقدمة

إن العوامل الأساسية في تصميم منظومة الري بالتنقيط هي معدل اضافة الماء من المنقط وتردد الارواء والفواصل بين خطوط المحصول، وتعتمد هذه العوامل على الخواص الهيدروليكيه للتربة وطبيعة . وحيث ان خواص التربة تؤثر بشكل رئيسي على حركة

أنماط ابتلال التربة تحت المنقط مطلوب للتربة المعنية قبل اقرار العوامل أعلاه لمحصول ومناخ معينين [1]. ان نمط ابتلال التربة تحت المنقط ناتج من حركة الماء في طور الترطيب (Bhatnagar et al. 1997) وطور إعادة الترطيب (مرحلة إعادة توزيع الرطوبة بعد انتهاء فترة الارواء)، والغرض من البحث الحالي هو تخمين التقدم العمودي والافقى لجبهة طور إعادة الترطيب.

هناك العديد من الدراسات التي تناولت ايجاد علاقات تجريبية لوصف تقدم جبهة الابتلا
لتخمين التقدم العمودي والتقدم الافقى لجبهة الابتلال تحت مصدر تنقيط. التعبير جبهة
ثنائي بعد بعلاقة أسيّة خطية لوغاريتمية بصيغة المعادلتين 1 2 من قبل (Fok 1970) [2])
لجبهة (Hachum 1973) [3] وذلك في طور الترطيب. (Hachum 1973) [3]
الابتلال خلال طور اعادة الترطيب بصيغة المعادلة 3 وبين أن حركة الماء خلال هذا الطور في التربة
الرمليّة وبالاتجاه الافقى صغيرة جداً بينما في الاتجاه العمودي تكون كبيرة نسبياً وفي التربة المزيجية
الغرينية تكون في الاتجاهين منتظمة. (Schwartzman and Zur 1986) [4] أن نمط الابتلال
يعتمد على نوع التربة، معدل اضافة الماء من المنقط، وحجم الماء الكلّي في التربة وعبر عن كل من
التقدم العمودي وأقصى قطر للابتلال الافقى بصيغة المعادلتين 4 5. وقد تم تخمين
الماء في الترب (Healy and Warrick 1988) [5] رطوب الناتجة من مصدر نقطي سطحي من قبل
الترتبة المبتلة وايجاد كل منهم باستخدام معادلات بصيغة المعادلة 6 وذلك بالاعتماد على متغير لابعدى
واحد هو الزمن، وقد وجد توافق جيد بين البيانات الحقلية والصيغة المقترنة والتمثيلات العددية.
(Elmaloglon and Malamos 2003) [6] علاقات تجريبية أسيّة خلال طور الترطيب بصيغة
المعادلتين 1 2 خلال مرحلة اعادة الترطيب بصيغة المعادلتين 7 8
ويعتمد كل منها على الزمن.

$$H = M * T^N \quad \dots \dots \dots \quad (2)$$

$$\ln(V/V_i) = k * \left(\ln\left(T/T_i\right)\right)^{0.5} \quad \dots \quad (3)$$

$$V = F * V_0^S * \left(K/q \right)^P \quad \dots \quad (4)$$

$$D = f * V_0^s * (K/q)^p \quad \dots \dots \dots \quad (5)$$

$$V - V_i = a^{0.5} * (T - T_i) + b^{1.5} * (T - T_i) + c^{1.5} * (T - T_i) \dots \dots \dots (7)$$

حيث أن^٥ : V : التقدم العمودي لجبهة الابتلال تحت مصدر التتفقيط () H : التقدم الافقى السطحي لجبهة () T : زمن تقدم جبهة الابتلال منذ البدء باضافة الماء(دقيقة) V_i : التقدم العمودي لجبهة الابتلال عند انتهاء طور الترطيب (سم) H_i : التقدم الافقى السطحي لجبهة الابتلال عند انتهاء طور الترطيب () T_i : زمن انتهاء طور الترطيب أو انتهاء اضافة الماء (دقيقة) V_0 : حجم الماء طور الترطيب () D : أقصى قطر للابتلال الافقى، ϕ : مقدار لابعدى لتقدم نمط الابتلال العمودي أو الافقى أو القطري أو يمثل حجم التربة المبتلة t : زمن تقدم جبهة الابتلال بشكل لابعدى، k : ثوابت وضعية. $f_s p f_s p k$ (A B M N F S P a, θ , β , α , b c m n z)

البيانات وطرق البحث

بيانات تقدم جبهة الابتلال تحت مصدر تتفقيط خطى خلال طور الترطيب وطور اعادة الترطيب في تربتين مزيجيه رملية ومزيجيه طينية غرينية وباستخدام ثلاث معدلات لاضافة الماء المستمرة (3.33 سم مكعب/دقيقة) 2.50 سم مكعب/دقيقة () اضافة الى التوصيل الهيدروليكي المشبع لكلا التربتين تم الحصول عليها من ياسين 2006^[7].

وقد تم توفيق البيانات التي تمثل تغير كل من التقدم العمودي والتقدير الافقى السطحي لجبهة معدلات مختلفة لاضافة الماء ولتربيتين وذلك خلال مرحلتي الترطيب بصيغة المعادلتين 1 2 اعادة الترطيب بصيغتين: الاولى وهي المقترنة في هذه الدراسة بصيغة المعادلتين 9 ، والثانية هي المعتمدة من قبل (Elmaloglon and Malamos 2003)^[6] بصيغ 7 ادلتين 10 وذلك باستخدام طريقة الانحدار اللاخطى. ويعرض الجدولان 1 2 قيم الثوابت لهذه المعادلات ولحالتي تقدم جبهة الابتلال العمودية والافقية وعند معدلات مختلفة لاضافة الماء ولتربيتين، اضافة الى (r) في جميع الحالات.

.....(9)

$$V = A * T^B * \left(T_i/T\right)^C$$

.....(10)

كما تم اعتماد بيانات التقدم العمودي V
 H سم لجبهة الابتلال والزمن
 منذ ابتداء إضافة T دقيقة و زمن انتهاء طور الترطيب T_i دقيقة
 q سم
 الكميات اللاotropic ($\frac{HK}{q}$) دقيقة /
 دقيقه /
 ول الهيدروليكي المشبع K دقيقه /
 قيمه $(\frac{T_i}{T})$ و بايقاع 150 قيمه للمتغيرات الثلاثه الاولى خلال طور الترطيب 48
 للمتغيرات الأربعه خلال طور إعادة الترطيب . وباستخدام طريقة الانحدار اللاخطي تم ايجاد المعادلتين
 12 واللتان تمثلان العلاقة بين كل من التقدم العمودي V والتقدم الأفقي السطحي H لجبهة الابتلال
 T_i زمن انتهاء طور الترطيب

1: قيم ثوابت معادلات التقدم العمودي 1 9 7

وذلك للتربيتين مع .(r)

a	b *10 ⁻³	c *10 ⁻⁶	A	B	C	(دقيقة) ³ /	
0.383	-1.5		2.468	0.500		3.33	
	-8.6			0.369			
	(0.988)			* (0.984)			
0.493	-7.7		1.931	0.526		2.50	
	62			0.397			
	(0.999)			(0.993)			
0.275	-1.2		1.673	0.528		1.67	
	4.4			0.400			
	(0.962)			(0.997)			
0.216	-2.4		1.051	0.518		3.33	
	14.7			0.323			
	(0.990)			(0.956)			
0.396	-9.3		0.972	0.573		2.50	
	78			0.464			
	(0.912)			(0.967)			
0.102	-0.7		1.214	0.534		1.67	
	6.4			0.474			
	(0.973)			(0.925)			

• (r)

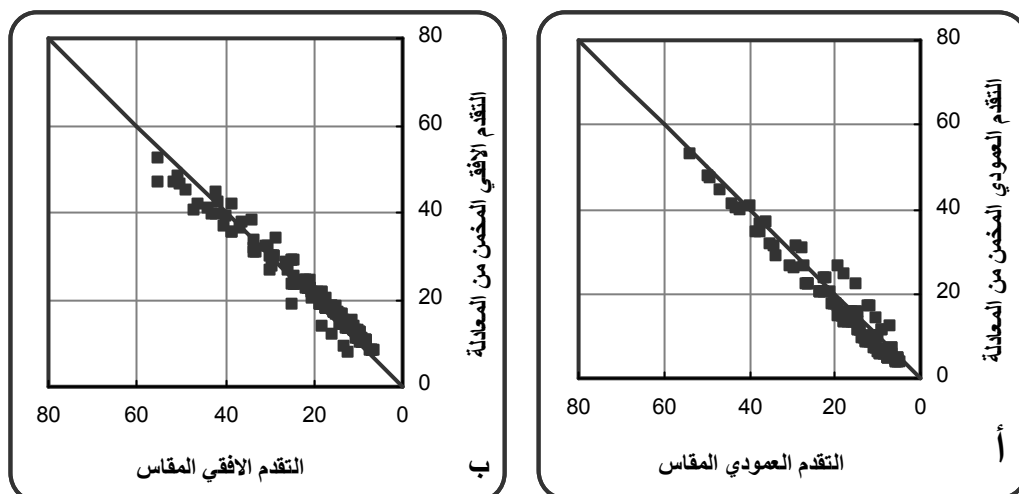
2: قيم ثوابت معادلات التقدم الأفقي 2 10 8

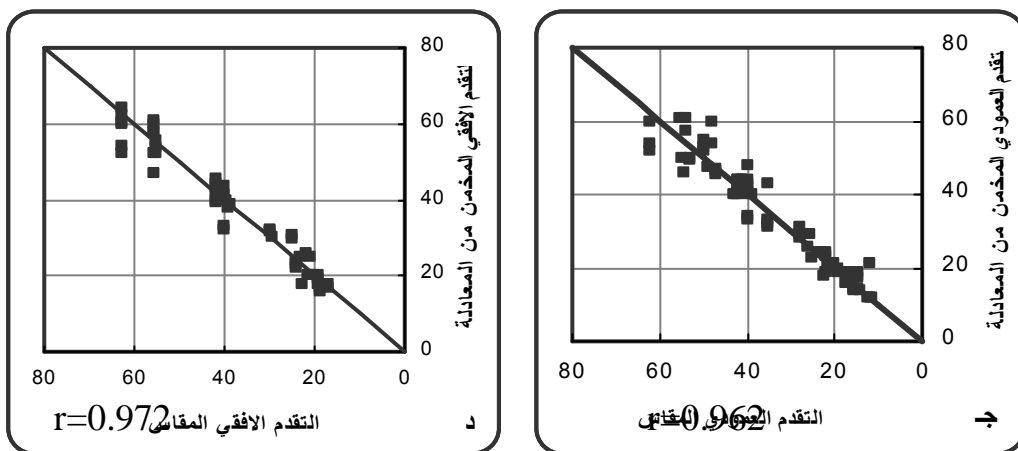
(r)

وذلك للتربيتين مع

m	$n \cdot 10^{-3}$	$z \cdot 10^{-6}$	M	N	Z	$\left(\frac{z^3}{n} \right) \text{ (دقيقة/)}^3$	
0.271 44 (0.997)	-5.6		2.871	0.453		3.33	
0.047 -25 (0.983)	2.4		2.401	0.462		2.50	مزيجية رملية
0.230 37 (0.973)	-4.4		2.360	0.429		1.67	
0.208 1.9 (0.979)	-1.8		3.570	0.492		3.33	مزيجية طينية غزيرية
0.190 19 (0.999)	-2.4		2.866	0.483		2.50	
0.147 30 (0.968)	-3.3		2.534	0.474		1.67	

(r)

 $r=0.987$ $r=0.986$



١: المقارنة بين القيم المخمنة من المعادلات والقيم المقايسة

الأفقى خلال مرحلة الترطيب () ومرحلة إعادة الترطيب ().

الماء والتوصيل الهيدروليكي المشبع وذلك في مرحلة إعادة الترتيب. أما في مرحلة الترتيب فيتم

استخدام المعادلتين 11 12 T_i مساوياً إلى $\frac{T_i}{T}$ يكون مقدارها 1 .

$$\left(\frac{H * K}{q}\right) = 1.088 * \left(\frac{K^2 * T}{q}\right)^{0.404} * \left(\frac{T_i}{T}\right)^{0.335}$$

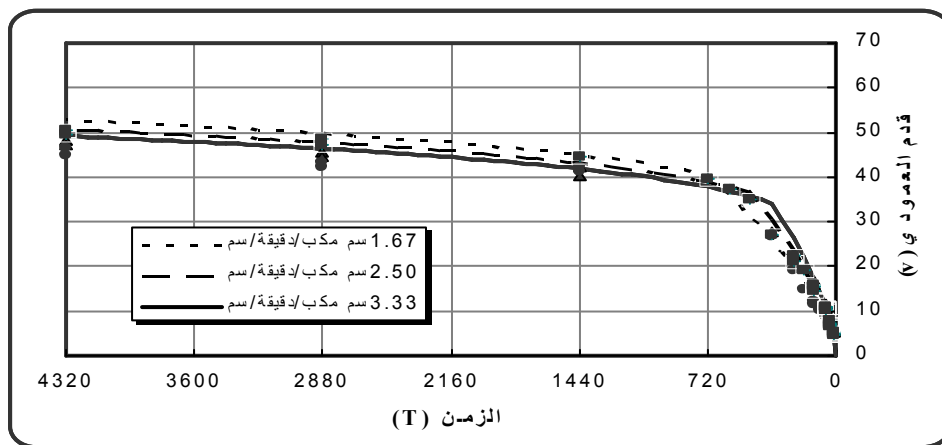
..... (12)

حيث أن: q : معدل اضافة الماء لمصدر التفقيط (سم مكعب/دقيقة/سم) K: التوصيل الهيدروليكي (دقيقة) يوضح الشكل 1 المقارنة بين القيم المخمنة باستخدام المعادلين 11 و 12 للتقدم العمودي والتقدم الأفقي لجبهة الابتلال خلال مرحلتي الترطيب وإعادة الترطيب.

مناقشة النتائج

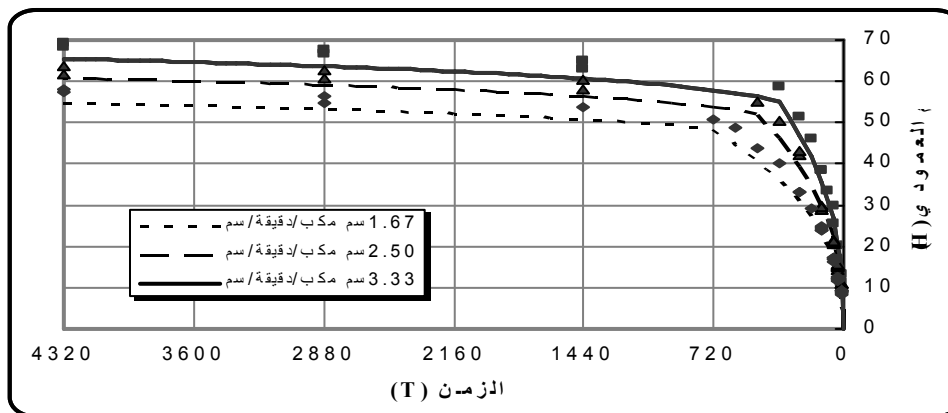
من خلال ملاحظة الجداول 1 و 2 يتوضّح من المقارنة بين صيغة المعادلين 8 وصيغة المعادلين 9 ومعاملات التحديد التي تعبّر عن علاقـة كل من هذه الصيغ مع نفس البيانات المقاـسة، حيث يقرـد ذلك إلى إمكانـية استخدام الصيغ المقترـحة للتـعبير عن تـقدم جـبهـة مـودـيا وأـفـقـيا. وباعتـمـاد هذه الصـيـغـةـ وباستـخدـامـ الـقيـمـ الـلـابـعـدـيـةـ لـلـمـتـغـيـرـاتـ تمـ اـيجـادـ المعـادـلـيـنـ 11 وـ 12 لـجـبـهـةـ التـرـطـيبـ وـإـعادـةـ التـرـطـيبـ

احتـوـاـهـمـاـ تـأـثـيرـ مـعـدـلـ اـضـافـةـ المـاءـ وـخـصـائـصـ التـرـبـةـ منـ خـالـ اـحـتوـاـهـمـاـ عـلـىـ التـوـصـيلـ الـهـيـدـرـوـلـيـكيـ . وـاعـتمـادـاـ عـلـىـ الـمـعـادـلـيـنـ 11 وـ 12 يـوضـحـ الشـكـلـانـ 2 وـ 3 تـغـيـرـ كـلـ منـ التـقـدمـ الـعـمـودـيـ وـالتـقـدمـ الـأـفـقـيـ لـجـبـهـةـ الـابـتـلـالـ معـ الزـمـنـ وـلـمـعـدـلـاتـ مـخـتـلـفةـ لـاضـافـةـ المـاءـ وـبـحـجمـ كـلـ لـلـمـاءـ المـضـافـ مـقـدـارـهـ 1.2 طـبـ وـإـعادـةـ التـرـطـيبـ وـفيـ تـرـبـةـ مـزـيـجـيـةـ طـينـيـةـ غـرـبـيـةـ . يـتبـينـ مـنـ هـذـيـنـ الشـكـلـيـنـ خـالـ طـورـ اـعادـةـ التـرـطـيبـ: أـوـلـاـ أـنـ مـقـدـارـ التـغـيـرـ الـحـاـصـلـ فـيـ التـقـدمـ الـعـمـودـيـ أـكـبـرـ مـاـ هـوـ عـلـيـهـ فـيـ التـقـدمـ الـأـفـقـيـ خـالـ هـذـاـ الطـورـ، وـثـانـيـاـ أـنـ التـغـيـرـ الـحـاـصـلـ فـيـ كـلـ منـ التـقـدمـ الـعـمـودـيـ وـالتـقـدمـ الـأـفـقـيـ يـزـدـادـ وـبـشـكـلـ ضـئـيلـ مـعـ زـيـادـةـ مـعـدـلـ اـضـافـةـ المـاءـ . وـاعـتمـادـاـ أـيـضاـعـلـىـ الـمـعـادـلـيـنـ 7 وـ 8 يـوضـحـ الشـكـلـانـ 4 وـ 5 تـغـيـرـ كـلـ منـ التـقـدمـ الـعـمـودـيـ وـالتـقـدمـ الـأـفـقـيـ لـجـبـهـةـ الـابـتـلـالـ معـ الزـمـنـ مـنـذـ بـداـيـةـ اـضـافـةـ المـاءـ وـخـالـ طـورـ التـرـطـيبـ وـإـعادـةـ التـرـطـيبـ عـنـ مـعـدـلـ اـضـافـةـ مـقـدـارـهـ 2.50 سـمـ مـكـعـبـ/ـدـقـيقـةـ/ـسـمـ وـحـجمـ المـاءـ 1.2 سـمـ وـذـلـكـ فـيـ تـرـبـةـ مـزـيـجـيـةـ رـمـلـيـةـ وـمـزـيـجـيـةـ طـينـيـةـ غـرـبـيـةـ . يـتبـينـ مـنـ هـذـيـنـ الشـكـلـيـنـ خـالـ طـورـ اـعادـةـ التـرـطـيبـ أـنـ مـقـدـارـ التـغـيـرـ الـحـاـصـلـ فـيـ التـقـدمـ الـعـمـودـيـ فـيـ التـرـبـةـ الـمـزـيـجـيـةـ الـرـمـلـيـةـ أـكـبـرـ مـاـ هـوـ عـلـيـهـ فـيـ التـرـبـةـ الـمـزـيـجـيـةـ طـينـيـةـ غـرـبـيـةـ وـالـعـكـسـ صـحـيـحـ فـيـ حـالـةـ التـقـدمـ الـأـفـقـيـ .



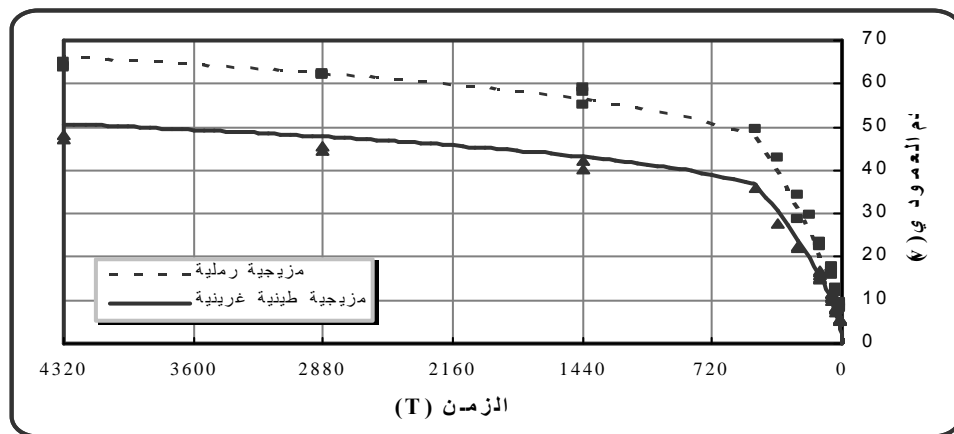
2: تغير التقدم العمودي لجبهة الابتلال مع الزمن منذ بداية اضافة الماء وخلال طوري الترطيب واعادة الترطيب عند معدلات مختلفة لاضافة الماء وبحجم كلي ربة مزيجية طينية غرينية.

/ 1.2



3: تغير التقدم الافقى لجبهة الابتلال مع الزمن منذ بداية اضافة الماء وخلال طوري الترطيب واعادة الترطيب عند معدلات مختلفة لاضافة الماء وبحجم كلي سم وفي تربة مزيجية طينية غرينية.

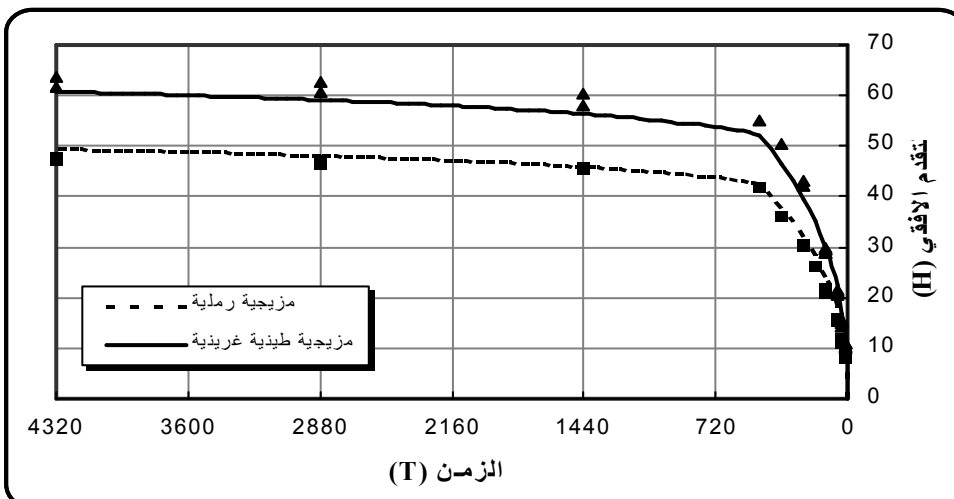
1.2



4: تغير التقدم العمودي لجبهة الابتلال مع الزمن منذ بداية اضافة الماء وخلال

طوري الترطيب واعادة الترطيب عند معدل اضافة مقداره 2.50

دقيقة/ سم وفي تربتين مختلفتين. 1.2



5: تغير التقدم الافقى لجبهة الابتلال مع الزمن منذ بداية اضافة الماء وخلال

طوري الترطيب واعادة الترطيب عند معدل اضافة مقداره 2.50

دقيقة/ سم وفي تربتين مختلفتين. 1.2

المصادر

1. Bhatnagar, P.R., H.S.Chauhan and V.K.Srivastava (1997) "Unsteady unsaturated flow from a surface disc source".Journal of Hydrology (203) : 154-161.
2. Fok, Y.S. (1970) "A study of two dimensional infiltration" .Trans -actions of the ASAE, Vol.13, No.5 : 676-681.
3. Hachum, A.Y. (1973) "Water movement in soil from trickle source" M.Sc.Thesis, Utah State University, Logan, Utah.
4. Schwartzman, M. and B.Zur (1986) "Emitter spacing and geometry of wetted soil volume".Journal of Irrigation and Drainage Engineering, Vol.112, No.3 : 242-253.
5. Healy, R.W. and A.W.Warrick (1988) "A generalized solution to infiltration from a surface point source" . Soil Sci. Soc. Am. J. (52) : 1245-1251.
6. Elmaloglou, ST. and N.Malamos (2003)" A method to estimate soil water movement under a trickle surface line source, with water extraction by roots".Irrigation and Drainage(52):273-284.(www.interscience.wiley.com)
7. ياسين، حقي اسماعيل (2006) "تأثير الإضافات الماء وتوزيع الرطوبة في تربة طباقية على من مصدر تقطيف على"

الماء وتوزيع الرطوبة في تربة طباقية "

.

